

TP 1: PageRank

September 10, 2022

Métodos Numéricos

Grupo 18

Integrante	LU	Correo electrónico
Vekselman, Natán	338/21	natanvek11@gmail.com
Arienti, Federico	316/21	fa.arienti@gmail.com
Barcos, Juan Cruz	463/20	juancruzbarcos@hotmail.com



Facultad de Ciencias Exactas y Naturales

Universidad de Buenos Aires

Ciudad Universitaria - (Pabellón I/Planta Baja) Intendente Güiraldes 2610 - C1428EGA

Ciudad Autónoma de Buenos Aires - Rep. Argentina

$$\label{eq:fax: optimization} \begin{split} \text{Tel/Fax: } & (++54\ +11)\ 4576\text{-}3300 \\ & \text{http://www.exactas.uba.ar} \end{split}$$

RESUMEN

El Ranking de Page, PageRank [1], es un método propuesto por Sergey Brin y Larry Page —co-fundadores de Google—, para jerarquizar las páginas web del internet, o de un subconjunto de las páginas que lo componen. Holísticamente, se puede interpretar como una medición, al largo plazo, del porcentaje de tiempo que un navegante permancerá en cada uno de los sitios [2].

Desde una perspectiva algorítmica, PageRank busca resolver un sistema lineal $\mathbf{A}x = x$, donde \mathbf{A} es una matriz estocástica en columnas [2] y cada una de sus posiciones a_{ij} representa la probabilidad que un usuario situado en la página j decida navegar a la página i.

Este trabajo propone una implementación eficiente del ranking a través del uso de una estructura de matríz acorde al problema, y el empleo de iteradores específicos, para reducir el costo espacial y temporal de la eliminación gaussiana, método utilizado para su resolución.

Se buscará dar una presentación teórica y una evaluación cuantitativa y cualitativa de los resultados de tanto el método propuesto, como de PageRank en si.

Palabras clave: Ranking de Page, Eliminación Gaussiana, Representación de Matrices

Contenidos

1. Introducción Teórica	2
1.1. Aridad	2
1.2. El sistema	2
1.3. Representación matricial	3
2. Desarrollo	5
2.1. Implementación	5
2.1.1. Matríz	5
2.1.2. Construir(g, p)	7
2.1.3. Eliminación gaussiana	8
2.1.4. Sustitución inversa	9
2.1.5. normalizar	10
2.2. Análisis cuantitativo	11
2.2.1. Error relativo	11
2.2.2. Error absoluto	12
2.3. Análisis cualitativo	13
3. Resultados y Discusión	14
4. Conclusiones	15
5. Apéndice	16
5.1. A: $A = pWD + ez^t$	16
5.2. B: $I - pWD$ permite la eliminación gaussiana	18
5.3. C: Estructuras alternativas	21
Referencias	22

1. Introducción Teórica

1.1. Aridad. Consideremos primero el dominio y la imágen de PageRank.

DOMINIO: 1. un conjunto de páginas web interconectadas a través de hipervínculos. Podemos considerar este conjunto como un grafo direccionado, donde los nodos son los sitios y los ejes, los links. 2. un parámetro de entrada $p \in (0, 1)$, que representa la probabilidad que un usuario decida navegar aleatoriamente a otra página en el grafo. Se puede interpretar como el parámetro de un variable aleatoria de Bernoulli.

IMÁGEN: un vector $x \in [0, 1]^n$, donde x_i representa el Ranking de Page para la i-ésima página del conjunto de entrada y x satisface que $x_i \ge 0 \ \forall i : 0 \dots n$ y $\sum_{i=1}^n x_i = 1$.

Tenemos entonces:

(1)
$$PageRank: G_n \times (0, 1) \longrightarrow [0, 1]^n \quad \forall n \in \mathbb{N}$$

donde G_n refiere al conjunto de conjuntos de páginas web, interconectadas a través de hipervínculos, con cardinalidad n.

1.2. El sistema. PageRank propone resolver un sistema de ecuaciones para encontrar la relevancia de cada página i (i: 1 ... n) en $g \in G_n$:

(2)
$$x_i := \sum_{j=1}^n x_j \cdot Pr(j \longrightarrow i)$$

donde $Pr(j \longrightarrow i)$ es la probabilidad que un usuario situado en la página j decida ir a la página i. Se define de la siguente manera:

(3)
$$Pr(j \longrightarrow i) := \begin{cases} (1-p) \cdot \frac{1}{n} + p \cdot \frac{I_{ij}}{c_j} & \text{si } c_j \neq 0 \\ \frac{1}{n} & \text{si no} \end{cases}$$

con $I_{ij} = 1$ si y sólo si existe un hipervínculo de j a i, con $j \neq i$ —y nulo en caso contrario—, y $c_j = \sum_{i=1}^n I_{ij}$, la cantidad de links salientes de j. La restricción $j \neq i$ será para evitar que se consideren auto-referencias en el ranking.

Notemos que $Pr(j \longrightarrow i)$ se puede interpretar de la siguente manera: un navegante situado en la página j decidirá con probabilidad p acceder a uno de los links del sitio y con probabilidad 1-p saltar a otra página del conjunto. En ambos casos, deberá luego decidir uniformemente sobre el total disponible, y terminará eligiendo a i con una probabilidad de $\frac{I_{ij}}{c_j}$ ó $\frac{1}{n}$, respectivamente, acorde a la primer decisión. Si no hay links en la página, siempre saltará de manera uniforme a otra página del conjunto, y eligirá a i con probabilidad $\frac{1}{n}$.

 x_i , por su parte, también recibe una interpretación particular: es la probabilidad que para algún momento k > K, el navegante se encuentre situado en la página i [4]. Notar que esto es equivalente a decir que x_i representa la fracción de tiempo, al largo plazo, que un navegante permanecerá en la página i.

A este modelo se lo conoce como el modelo del navegante aleatorio.

1.3. Representación matricial. Dado que estamos trabajando con un sistema lineal, será de utilidad considerar la matriz asociada ' \mathbf{A} ' y resolver, equivalentemente, $\mathbf{A}x = x$, donde $x = (x_1, \ldots, x_n)^t$. Definimos entonces:

$$(4) a_{ij} := Pr(j \longrightarrow i)$$

y proponemos que¹:

$$\mathbf{A} = p\mathbf{W}\mathbf{D} + ez^t$$

donde $\mathbf{A} \in [0,\ 1]^{n \times n} \;\; \mathbf{y} \;\; \forall i,\ j:\ 1 \ldots n$ se satisface que:

$$e_{i} = 1$$

$$z_{j} = \begin{cases} (1-p)/n & \text{si } c_{j} \neq 0 \\ 1/n & \text{si no} \end{cases}$$

$$w_{ij} = \begin{cases} 1 & \text{si } i \neq j \land j \xrightarrow{l} i \\ 0 & \text{si no} \end{cases}$$

$$d_{ij} = \begin{cases} 1/c_{j} & \text{si } i = j \land c_{j} \neq 0 \\ 0 & \text{si no} \end{cases}$$

La notación $j \xrightarrow{l} i$ representa que existe un link de la página j a la página i, y las filas y columnas de \mathbf{W} , denominada matriz de conectividad, representan—indexadas por posición—las páginas de una web $g \in G_n$.

A partir de la Ecuación 5 podemos ver que:

¹Una demostración de esta equivalencia se encuentra en 5.1.

$$\mathbf{A}x = x$$
$$(p\mathbf{W}\mathbf{D} + ez^{t})x = x$$
$$p\mathbf{W}\mathbf{D}x + ez^{t}x = x$$
$$x - p\mathbf{W}\mathbf{D}x = ez^{t}x$$
$$(\mathbf{I} - p\mathbf{W}\mathbf{D})x = \gamma e$$

donde $\gamma = z^t x$ es un escalar.

Dado que nuestro resultado deberá ser normalizado para cumplir con los requerimientos de la imágen, podemos asumir un γ conveniente [3], $\gamma = 1$, tal que el sistema a resolver sea:

$$(\mathbf{I} - p\mathbf{W}\mathbf{D})x = e$$

Notar que La matriz $\mathbf{I}-p\mathbf{WD}$ es 'diagonal dominante' en columnas, por lo que permite la aplicación de la eliminación gaussiana sin permutación ².

²Una demostración de este enunciado se encuentra en 5.2.

2. Desarrollo

- 2.1. **Implementación.** A partir del sistema planteado en la ecuación (6), proponemos el siguiente método para la resolución de PageRank:
 - 1) Construir la matriz $\mathbf{I} p\mathbf{W}\mathbf{D}$ a partir de alguna representación de $g \in G_n$ (recordar que q es un conjunto de páginas web con cardinalidad n).
 - 2) Triangular la matriz extendida $(\mathbf{I} p\mathbf{W}\mathbf{D} \mid e)$ mediante eliminación gaussiana, sin pivoteo ³.
 - 3) Resolver la matriz triangular resultante mediante el algoritmo de sustitución inversa.
 - 4) Normalizar el resultado.

Tenemos entonces:

Algoritmo 1. Pseudocódigo para PageRank.

De este algoritmo surgen las siguientes preguntas: ¿Cómo representamos las matrices⁴? ¿Cómo construimos ($\mathbf{I} - p\mathbf{W}\mathbf{D} \mid e$)? ¿Cómo implementamos la eliminación gaussiana? y ¿Cómo implementamos la sustitución inversa?

2.1.1. Matriz. Una representación eficiente de matriz será una que permita aprovechar las cualidades de $(\mathbf{I} - p\mathbf{W}\mathbf{D} \mid e)$, que tenga un costo mínimo de mantenimiento respecto a sus operaciones elementales y que sea eficiente en el uso de la memoria.

Lo primero a notar son las operaciones fundamentales de la estructura. Desde un punto de vista abstracto, estas son aquellas que la definen como un espacio vectorial y, en el caso de $\mathbb{R}^{n\times n}$, como un álgebra:

³Es decir, nuestra solución no buscará reducir el error numérico de la aritmética de punto flotante —en particular por cancelación catastrófica— por medio de las técnicas de pivoteo parcial o pivoteo completo que se utilizan en algunas implementaciones del algoritmo.

⁴Para este trabajo asumiremos que existe una representación de vector. Sin embargo, notar que un vector puede ser representado por una matríz $n \times 1$ ó $1 \times n$.

$$\mathbf{A} + \mathbf{B} := (a+b)_{ij} = a_{ij} + b_{ij} \qquad \forall i : 1 \dots n, \ j : 1 \dots m$$

$$\mathbf{A} \cdot \mathbf{B} := (ab)_{ij} = \sum_{k=1}^{m} a_{ik} \ b_{kj} \qquad \forall i : 1 \dots n, \ j : 1 \dots q$$

$$\lambda \cdot_{\mathbb{R}} \mathbf{A} := (\lambda a)_{ij} = \lambda a_{ij} \qquad \forall i : 1 \dots n, \ j : 1 \dots m$$

Más allá de las posibles implementaciones —que no se requerirán—, importa destacar el fuerte carácter iterativo (las operaciones y la acción actúan sobre todas las posiciones) y observar que cuando $a_{ij} = 0$ ó $b_{ij} = 0$, el resultado es invariante respecto a al menos uno de los operandos. Desde un punto de vista algorítmico, esto significa que estos casos son redundantes y posiblemente se los pueda omitir (por ejemplo, iterando sólo sobre los elementos no nulos).

Esto es particularmente importante para PageRank, donde se espera que una página web tenga pocos links salientes (en relación al total de los sitios) y donde se puede demostrar una tendencia a la localidad de las relaciones [3]. Entonces, para un conjunto lo suficientemente grande, podemos suponer que nuestra matríz estará principalmente vacía.

A partir de este breve análisis, proponemos las siguientes estructuras⁵:

(7)
$$\text{matriz} := \begin{cases} \text{n, m} : \mathbb{N} \\ \text{datos} : vector < vector < \text{par} := \begin{cases} \text{posición} : \mathbb{N}_0, \\ \text{elemento} : \mathbb{R} \end{cases} >> \\ \text{at} : \mathbb{N} i \times \mathbb{N} j \longrightarrow \mathbb{R} \\ \text{set} : \mathbb{N} i \times \mathbb{N} j \times \mathbb{R} \longrightarrow \text{matriz} \end{cases} \begin{cases} 0 \le i < n \land 0 \le j < m \\ 0 \le i < n \land 0 \le j < m \end{cases}$$

$$\begin{cases} \text{i, j, pos} : \mathbb{N}_0 \\ \text{p} : *matriz} \end{cases}$$

$$\text{at} : \longrightarrow \mathbb{R} \\ \text{set} : \mathbb{R} \longrightarrow \text{iterador} \\ \text{proximo_fila} : \longrightarrow \text{iterador} \\ \text{proximo_columna} : \longrightarrow \text{iterador} \end{cases} \begin{cases} \text{en_rango()} \\ \text{en_rango()} \end{cases}$$

donde vector se refiere a un arreglo de tamaño variable en memoria contigua y * designa un puntero.

⁵Una evaluación en más detalle de la implementación y las alternativas consideradas se encuentra en (5.3).

Esta estructura de matríz garantizará que el tamaño del vector externo siempre equivaldrá a n, que el tamaño de cada vector interno estará acotado por m, que los pares internos estarán ordenados por posición y que para cada uno se satisfará que $0 \le \text{posición} < n$ y que el elemento es no nulo.

La estructura asociada al iterador, por su parte, satisfará que el iterador es válido si y sólo si $0 \le i < n$ y $0 \le pos < largo(datos[i])$, y que un iterador válido siempre estará sobre un elemento no nulo⁶.

Entre ambas podremos iterar por los elementos no nulos de cada fila en $\Theta(1)$ —ya que estarán en orden sucesivo en el vector interno— y será eficiente en espacio⁷. Como contrapartida, no será eficiente en la inserción: en el peor caso requerirá mover todos los elementos en una fila (por un costo en $\Theta(m)$).

2.1.2. Construir(g, p). Dada nuestra representación de matríz, el siguiente paso será construir, a partir de un conjunto de páginas web g y un valor p, la matríz $\mathbf{I} - p\mathbf{WD}$. Para ello, vamos a adoptar una repesentación particular de g:

(9)
$$g \in G_n := \begin{cases} \# \text{páginas} : n, \\ \text{relaciones} : vector < \text{eje} := \{ i, j : \mathbb{N} > \} \end{cases}$$

donde cada eje representa un hipervínculo de la página j a la página i y se satisface que $0 \le i, \ j \le n$.

Proponemos el siguiente algoritmo:

ALGORITMO 2. Pseudocódigo para construir.

Notamos que la matríz **D** es diagonal y, por ende, la multiplicación a derecha con **W** equivaldrá a escalar los elementos de cada columna W_j por d_{jj} . En el caso de los elementos nulos, la operación será invariante —algo que también sucederá con la multiplación escalar por -p—.

⁶Sobre el iterador, debemos aclarar que éste se situará en la columna no nula más cercana a la pedida, que el método PROXIMO_COLUMNA situará al iterador sobre la columna no nula más próxima (en relación a la que se usó para inicializar el iterador originalmente) de la siguiente fila, o continuará si esta es vacía, y PROXIMO_FILA situará al iterador sobre el próximo elemento no nulo en la misma fila.

⁷En relación a nuestras expectativas sobre la ralidad de PageRank.

Tenemos entonces:

```
proc identidad(in n: natural, out B: matriz<n, n>) {
        B := matriz(n, n, 0) // B = 0 de dimension n x n
        i := 0
        while i < n {
            B.set(i, i, 1)
            i := i + 1
        }
    }
}</pre>
```

Algoritmo 3. Pseudocódigo para identidad.

```
1 proc ponderar(inout B: matriz<n, n>, in g: G<n>, in p: real) {
      grado := vector(n, 0) // grado = 0 de dimension n
3
      while i < largo(g.relaciones) {</pre>
           eje := g.relaciones[i]
5
           grado[eje.j] := grado[eje.j] + 1
      while i < largo(g.relaciones) {
           eje := g.relaciones[i]
9
           if eje.i != eje.j {
10
               B.set(eje.i, eje.j, -p / grado[eje.j])
11
12
      }
13
14 }
```

Algoritmo 4. Pseudocódigo para ponderar.

De ambos algoritmos podemos notar que la complejidad de CONSTRUIR estará en $\Theta(n+r\cdot c)$ donde r representa la cantidad total de relaciones y c es el costo de SET. Para nuestra representación, esto equivaldrá a $\Theta(n+r\cdot n)$ y, como $r \leq n^2$, tendremos un peor caso en $\Theta(n^3)$. Sin embargo, si $r << n^2$, se puede esperar un comportamiento mejor que el método 'directo' (cuyo costo fijo es $\Theta(n^3)$ por el producto de matrices).

- 2.1.3. Eliminación gaussiana. El siguiente paso será triangular $(\mathbf{I} p\mathbf{W}\mathbf{D} \mid e)$ para obtener un sistema fácil de resolver. Proponemos una versión optimizada de la eliminación gaussiana —para nuestro uso— que se vale de las siguientes observaciones:
 - Dada una matríz **A** que permite la eg., el paso i-ésimo del algoritmo, que modifica la fila j (j > i), es necesario sólo si $a_{ji} \neq 0$, ya que sino la operación $A_j \leftarrow A_j \frac{a_{ji}}{a_{ii}} \cdot A_i$ es invariante.
 - Similarmente, $A_j \leftarrow A_j \frac{a_{ji}}{a_{ii}} \cdot A_i$, requiere operar sólo sobre los elementos no nulos de A_i .

```
1 proc eliminacion_gaussiana(inout A: matriz<n, n>, inout b: vector<n>) {
      i := 0
3
      while i < A.n - 1 {
          jt := iterador(A, i + 1, i)
          while jt.en_rango() {
               if (jt.j == i) { // solo si B.at(i + 1, i) != 0
                   mij := jt.at() / A.at(i, i)
                   sumar_fila(A, b, i, jt.i, mij)
9
              jt.proximo_columna()
          }
11
          i := i + 1
      }
13
14 }
```

Algoritmo 5. Pseudocódigo para eliminacion_gaussiana.

Algoritmo 6. Pseudocódigo para sumar_fila.

Para no complicar el análisis, podemos estimar que el algoritmo costará $O(n^2 \cdot k^2)$ en el caso promedio. El n^2 corresponde a la iteración de cada fila j sobre cada fila i, dado $0 \le i < j < n$, y k corresponde a la cantidad de elementos no nulos en la matríz⁸. Dado $k \le n$, el costo de peor caso será $O(n^4)$. Sin embargo, mientras $k < \sqrt{n}$ este método funcionará mejor que la forma tradicional de la eliminación (cuyo costo teórico es $\Theta(n^3)$).

2.1.4. Sustitución inversa. Al igual que en la eliminación gaussiana, aprovecharemos el hecho que $A_j \leftarrow A_j - \frac{a_{ji}}{a_{ii}} \cdot A_i$ requiere operar sólo sobre los elementos no nulos de A_i , para lograr un algorítmo en $\Theta(n \cdot k)$, con k la cantidad de elementos no nulos de la matríz:

 $^{^8\}mathrm{Se}$ estima k^2 por SUMAR_FILA, que itera sobre los elementos no nulos de una fila e incluye una operación de SET.

```
1 proc sustitucion_inversa(in A: matriz<n, n>, in b: vector<n>,
                            out x: vector<n>) {
      x := vector(A.n, 0) // x = 0 de dimension n
3
      i := A.n - 1
      while i >= 0  {
          s
            := 0
          it := iterador(A, i, i + 1)
          while it.en_rango() {
              s := s + it.at() * x[it.j]
9
              it.proximo_fila()
11
          x[i] := (b[i] - s) / A.at(i, i)
          i := i + 1
13
      }
14
15 }
```

Algoritmo 7. Pseudocódigo para sustitucion_inversa.

Nuevamente, el peor caso se dará cuando k = n.

2.1.5. normalizar. Por último, presentaremos un algóritmo estándar para normalizar un vector de tamaño n en $\Theta(n)$:

```
1 proc normalizar(inout x: vector<n>) {
       s := 0
       i := 0
       while i < largo(x) {</pre>
           s += x[i]
           i := i + 1
6
7
       i := 0
9
       while i < largo(x) {</pre>
           x[i] = x[i] / s
           i := i + 1
11
       }
12
13 }
```

Algoritmo 8. Pseudocódigo para normalizar.

- 2.2. **Análisis cuantitativo.** Se procederá a evaluar una implementación de PageRank en C++ acorde a los algoritmos propuestos.
- 2.2.1. Error relativo. Medimos el error $|\mathbf{A}x x|_1$ en función del valor de p para cien grafos generados aleatoriamente. En total, obtuvimos 10,000 mediciones⁹.

METODOLOGÍA. Se calculó x = PageRank(g, p) y se midió el error relativo $|\mathbf{A}x - x|_1$ para cada uno de los grafos sobre cada valor de p en en el intervalo (0, 1) de a saltos de 0.01.

Cada caso, representable por una matriz de conectividad $W \in \{0, 1\}^{100 \times 100}$, se generó a través del siguiente procedimiento¹⁰:

- 1) Se eligió la cantidad de ejes (e) del sistema de manera uniforme sobre el intervalo $[0, R \cdot T)$, donde $T = 100^2 100$ representa el máximo de ejes posibles en un grafo de cien nodos sin auto-direccionamiento y R = 1/4 es un valor arbitrario definido para imitar las carácteristicas de ralidad esperables en un conjunto de páginas web.
- 2) Se pobló una matriz $W_0 \in \{0, 1\}^{99 \times \bar{1}00} = 0$ con unos en las primeras 'e' posiciones y se utilizó el algoritmo de shuffle de numpy, sobre el rng PCG64, para generar una permutación aleatoria.
- 3) Se expandió la misma con ceros en la diagonal para lograr la matríz $W \in \{0, 1\}^{100 \times 100}$.

OBSERVACIONES. El experimento tiene como limitaciones principales el tamaño de la muestra (cien grafos distintos) y el método de generación de casos —los mismos no provienen de muestras reales—, que incluye la elección arbitraria del valor R. Sin embargo, contempla con cierta granularidad todo el expectro de valores posibles para p, tal que permite conocer el error relativo de los resultados en función de su parámetro 'libre'.

Resultados. El cuadro 1. resume los resultados obtenidos.

mediciones	10000
error relativo promedio	0.00084646
desviación estándar	0.00063764
mínimo	1.7347e-16
25%	0.00034960
50%	0.00075431
75%	0.00121044
máximo	0.00376671

Cuadro 1. datos de resumen del experimento.

Podemos observar que el error relativo fue en promedio menor a 1e-3. De distribuirse uniformemente, esto nos permite suponer que el error relativo de cada puntaje debe estar en el orden de 1e-5.

 $^{^9\}mathrm{El}$ script asociado se puede encontrar en ./experimentos/error_relativo.py

¹⁰Se utilizó un valor semilla para facilitar la reproducibilidad.

La Figura 1. muestra la distribución de los resultados en función del parámetro p.

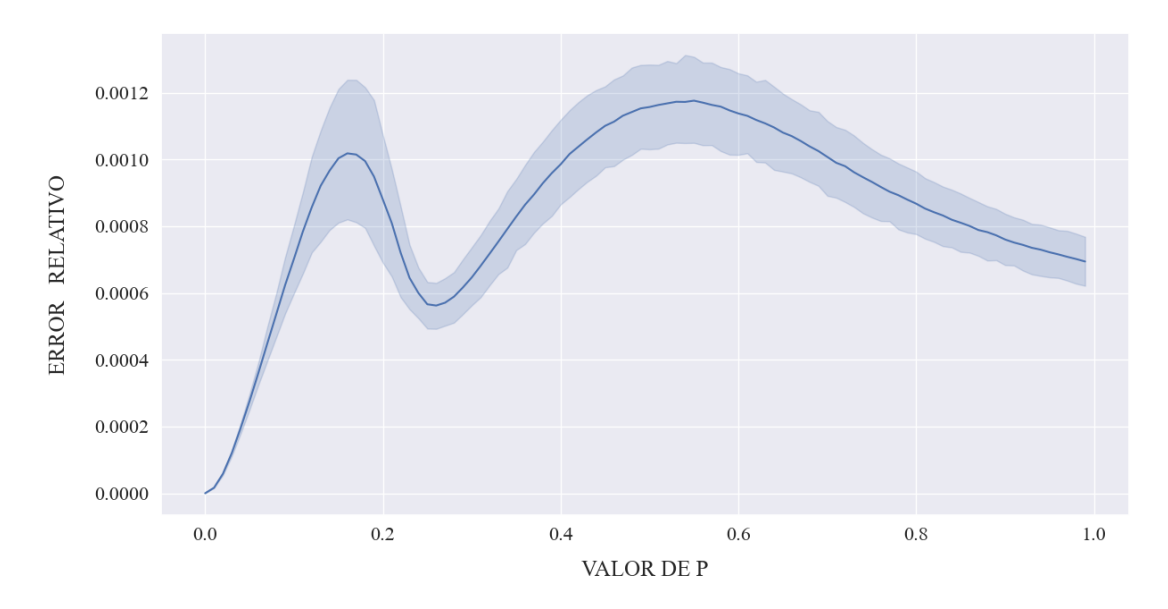


FIGURA 1. Error relativo promedio -en base a una norma L1- e intervalo de confianza del 95% para una muestra aleatoria de cien grafos en función de p.

Notar la progresiva disminución del error a medida que p se aproxima a 1. Los máximos locales se encuentran en p=0.16 y p=0.55, y el mínimo local en p=0.26.

2.2.2. Error absoluto. Medimos el error $|x-\hat{x}|_1$ para los casos de test provistos por la cátedra¹¹.

El Cuadro 2. resume los resultados.

test	error
test_15_segundos	0.0291137
test_30_segundos	0.0229572
test_aleatorio	6.176e-07
test_aleatorio_desordenado	6.176e-07
$test_completo$	0.0
test_sin_links	0.0
test_trivial	0.0

Cuadro 2. Error absoluto en base a la -norma L1- de los tests.

 $^{{}^{11}{\}rm Los\ resultados\ coordenada\ a\ coordenada\ se\ pueden\ observar\ en\ .}/experimentos/resultados/error_tests.$

Podemos observar que hay cierta correlación entre la cantidad de páginas y el error. Esto tiene sentido dado que la norma L1 es la suma del valor absoluto de las coordenadas. Mientras mayor sea la dimensión, mayor será la cantidad de errores a sumar.

2.3. Análisis cualitativo.

3. Resultados y Discusión

4. Conclusiones

5. Apéndice

5.1. **A:**
$$A = pWD + ez^t$$
.

demostración. Recordemos que:

$$e_{i} = 1$$

$$z_{j} = \begin{cases} (1-p)/n & \text{si } c_{j} \neq 0 \\ 1/n & \text{si no} \end{cases}$$

$$w_{ij} = \begin{cases} 1 & \text{si } i \neq j \land j \xrightarrow{l} i \\ 0 & \text{si no} \end{cases}$$

$$d_{ij} = \begin{cases} 1/c_{j} & \text{si } i = j \land c_{j} \neq 0 \\ 0 & \text{si no} \end{cases}$$

A partir de estas definiciones, vemos que, como \mathbf{D} es diagonal, el producto a derecha \mathbf{WD} escala cada columna w_j por el factor d_{jj} , tal que:

$$(\mathbf{WD})_{ij} = \begin{cases} w_{ij}/c_j & \text{si } c_j \neq 0 \\ 0 & \text{si no} \end{cases}$$

Como p es un escalar, sigue entonces que:

$$(p\mathbf{WD})_{ij} = \begin{cases} p \cdot w_{ij}/c_j & \text{si} \quad c_j \neq 0 \\ 0 & \text{si no} \end{cases}$$

Además, $e \in \mathbb{R}^{n \times 1} \ \land \ z^t \in \mathbb{R}^{1 \times n} \implies ez^t \in \mathbb{R}^{n \times n}$, y:

$$(ez^t)_{ij} := \sum_{k=1}^{1} e_{ik} \cdot z_{kj}^t = e_i \cdot z_j^t = 1 \cdot z_j^t = z_j$$

Por lo que:

$$(p\mathbf{W}\mathbf{D} + ez^t)_{ij} = \begin{cases} p \cdot w_{ij}/c_j + z_j & \text{si } c_j \neq 0 \\ z_j & \text{si no} \end{cases}$$
$$= \begin{cases} (1-p) \cdot \frac{1}{n} + p \cdot \frac{w_{ij}}{c_j} & \text{si } c_j \neq 0 \\ \frac{1}{n} & \text{si no} \end{cases}$$

pero:

$$a_{ij} := Pr(j \longrightarrow i) = \begin{cases} (1-p) \cdot \frac{1}{n} + p \cdot \frac{I_{ij}}{c_j} & \text{si } c_j \neq 0 \\ \frac{1}{n} & \text{si no} \end{cases}$$

Como $I_{ij}=1$ si y sólo si existe un hipervínculo de j a i, con $j\neq i$ —y nulo en caso contrario—, entonces $I_{ij}=w_{ij}$ y concluímos que $a_{ij}=(p\mathbf{W}\mathbf{D}+ez^t)_{ij}$ $\forall i,j:1...n$, lo que implica que:

$$\mathbf{A} = p\mathbf{W}\mathbf{D} + ez^t$$

5.2. B: I - pWD permite la eliminación gaussiana.

Demostración. Demos primero una definición formal del enunciado:

ELIMINACIÓN GAUSSIANA. $\forall \mathbf{A} \in \mathbb{R}^{n \times n}, \ \exists! \ m \in \mathbb{N}: \ 1 \leq m \leq n \ \mathrm{tal} \ \mathrm{que}$:

 $\forall k \in \mathbb{N}: \ 1 \le k < m$

$$eg_1(\mathbf{A})_{ij} = a_{ij}$$

$$eg_{k+1}(\mathbf{A})_{ij} = \begin{cases} eg_k(\mathbf{A})_{ij} & \text{si} \quad i < k+1 \ \lor \ j < k+1 \\ eg_k(\mathbf{A})_{ij} - \frac{eg_k(\mathbf{A})_{ik}}{eg_k(\mathbf{A})_{kk}} \cdot eg_k(\mathbf{A})_{kj} & \text{si no} \end{cases}$$

donde m < n es el mínimo valor que satisface que $eg_m(\mathbf{A})_{mm} = 0$. Si la matríz \mathbf{A} es tal que m = n, entonces \mathbf{A} permite la eliminación gaussiana.

Probaremos que para la matríz $\mathbf{B} \in \mathbb{R}^{n \times n} = \mathbf{I} - p\mathbf{WD}$, $\forall k \in \mathbb{N} : 1 \le k \le n$:

$$eg_k(\mathbf{B})_{kk} \neq 0$$

y en consecuencia m=n.

Para ello demostraremos el siguiente enunciado:

$$|b_{jj}^k| > \sum_{i=k, i \neq j}^n |b_{ij}^k| \quad \forall k, j \in \mathbb{N} : 1 \le k \le j \le n$$

donde $b_{ij}^k = eg_k(\mathbf{B})_{ij}$.

Es decir, para todo paso k de la eliminación gaussiana se satisface que el valor absoluto de los elementos de la diagonal mayores o iguales a k son mayor estricto al valor absoluto de la suma de los elementos de su columna desde la posición k, descontando la diagonal.

Lo demostraremos por inducción:

 $\forall k, j \in \mathbb{N} : 1 < k < j < n$

$$|b_{jj}^k| > \sum_{i=k, i \neq j}^n |b_{ij}^k| \implies |b_{jj}^{k+1}| > \sum_{i=k+1, i \neq j}^n |b_{ij}^{k+1}|$$

Caso base (k = 1):

Notemos primero que

$$(\mathbf{B})_{ij} = (\mathbf{I} - p\mathbf{W}\mathbf{D})_{ij} = \begin{cases} 1 & \text{si} & i = j \\ -p/c_j & \text{si} & w_{ij} = 1 \land c_j \neq 0 \\ 0 & \text{si no} \end{cases}$$

Dado que todo elemento de cada columna j de **WD** está normalizado por $1/c_j$, tal que su suma da uno, entonces la suma de la columna $(-p\mathbf{WD})_j = -p$, con 0 .

Observamos también que la diagonal es nula para esta matríz, tal que su suma por \mathbf{I} da $(\mathbf{I} - p\mathbf{W}\mathbf{D})_{jj} = 1$. Este tipo de matríz se conoce como estocástica por columna y su transpuesta es diagonal dominante.

En consecuencia, es inmediato que $|b_{jj}^1|=|b_{jj}|=1>\sum_{i=k,\ i\neq j}^n|b_{ij}^1|=|-p|\ \forall j\in\mathbb{N}:1\leq j\leq n.$

PASO INDUCTIVO:

 $\forall j \in \mathbb{N} : 1 \le k \le j \le n$

$$\begin{split} |b_{jj}^{k+1}| \; > \; \sum_{i=k+1, \; i \neq j}^{n} |b_{ij}^{k+1}| \\ \iff |b_{jj}^{k} - \frac{b_{jk}^{k} \cdot b_{kj}^{k}}{b_{kk}^{k}}| \; > \; \sum_{i=k+1, \; i \neq j}^{n} |b_{ij}^{k} - \frac{b_{ik}^{k} \cdot b_{kj}^{k}}{b_{kk}^{k}}| \end{split}$$

dado que $|a-b| \ge |a|-|b| \wedge |a|+|b| \ge |a+b|$ por desigualdad triangular, entonces podemos demostrar equivalentemente, por teorema del sandwich, que:

$$|b_{jj}^k| - |\frac{b_{jk}^k \cdot b_{kj}^k}{b_{kk}^k}| \ > \ \sum_{i=k+1, \ i \neq j}^n |b_{ij}^k| \ + \sum_{i=k+1, \ i \neq j}^n |\frac{b_{ik}^k \cdot b_{kj}^k}{b_{kk}^k}|$$

Como:

$$\sum_{i=k+1, i \neq j}^{n} |b_{ij}^{k}| = \left(\sum_{i=k, i \neq j}^{n} |b_{ij}^{k}|\right) - |b_{kj}^{k}|$$

y por hipótesis inductiva:

$$|b_{jj}^k| > \sum_{i=k, i \neq j}^n |b_{ij}^k| \implies |b_{jj}^k| - |b_{kj}^k| > (\sum_{i=k, i \neq j}^n |b_{ij}^k|) - |b_{kj}^k|$$

entonces podemos volver a acotar tal que:

$$|b_{jj}^k| - |b_{kj}^k| + \sum_{i=k+1, \ i \neq j}^n |\frac{b_{ik}^k \cdot b_{kj}^k}{b_{kk}^k}| >_{hi} \sum_{i=k+1, \ i \neq j}^n |b_{ij}^k| + \sum_{i=k+1, \ i \neq j}^n |\frac{b_{ik}^k \cdot b_{kj}^k}{b_{kk}^k}|$$

y considerar que:

$$\begin{aligned} |b_{jj}^{k}| - |\frac{b_{jk}^{k} \cdot b_{kj}^{k}}{b_{kk}^{k}}| &\geq |b_{jj}^{k}| - |b_{kj}^{k}| + \sum_{i=k+1, \ i \neq j}^{n} |\frac{b_{ik}^{k} \cdot b_{kj}^{k}}{b_{kk}^{k}}| \\ \iff |b_{kj}^{k}| - |\frac{b_{jk}^{k} \cdot b_{kj}^{k}}{b_{kk}^{k}}| &\geq \frac{|b_{kj}^{k}|}{|b_{kk}^{k}|} \sum_{i=k+1, \ i \neq j}^{N} |b_{ik}^{k}| \end{aligned}$$

Podemos acotar una última vez, tal que:

$$|b_{kj}^k| - |\frac{b_{jk}^k \cdot b_{kj}^k}{b_{kk}^k}| \ge \frac{|b_{kj}^k|}{|b_{kk}^k|} (|b_{kk}^k| - |b_{jk}^k|) >_{hi} \frac{|b_{kj}^k|}{|b_{kk}^k|} \sum_{i=k+1}^N \sum_{j \neq i}^N |b_{ik}^k|$$

Pero:

$$|b_{kj}^k| - |\frac{b_{jk}^k \cdot b_{kj}^k}{b_{kk}^k}| \ \geq \ \frac{|b_{kj}^k|}{|b_{kk}^k|} (|b_{kk}^k| - |b_{jk}^k|) \ \iff |b_{kj}^k| - |\frac{b_{jk}^k \cdot b_{kj}^k}{b_{kk}^k}| \geq |b_{kj}^k| - |\frac{b_{jk}^k \cdot b_{kj}^k}{b_{kk}^k}|$$

Lo que es trivialmente cierto.

Demostramos ahora por absurdo que $b_{kk}^k \neq 0 \ \forall k \in \mathbb{N} : 1 \leq k \leq n$.

Supongamos que $b_{kk}^k = 0$. Entonces:

$$|b_{kk}^k| = 0 > \sum_{i=k, i\neq k}^n |b_{ij}^k| \quad \forall k, j \in \mathbb{N} : 1 \le k \le j \le n$$

Pero $\sum_{i=k,\ i\neq k}^{n}|b_{ij}^{k}|$ es necesariamente una suma de valores positivos ó 0. Es decir:

$$0 > \sum_{i=k, i \neq k}^{n} |b_{ij}^{k}| \ge 0 \implies 0 > 0$$

Absurdo!

5.3. C: Estructuras alternativas.

REFERENCIAS

- [1] Sergey Brin and Lawrence Page. The anatomy of a large-scale hypertextual web search engine. Computer networks and ISDN systems, 30 (1-7):107–117, 1998.
- [2] Kurt Bryan and Tanya Leise. The \$25,000,000,000 eigenvector: The linear algebra behind google. T SIAM review, 48 (3):569–581, 2006.
- [3] Amy N Langville and Carl D Meyer. Deeper inside pagerank. Internet Mathematics, 1(3):335–380, 2004.
- [4] Sepandar D Kamvar; Taher H Haveliwala; Christopher D Manning and Gene H Golub. Extrapolation methods for accelerating pagerank computations. In Proceedings of the 12th international conference on World Wide Web, pages 261-270. ACM, 2003.